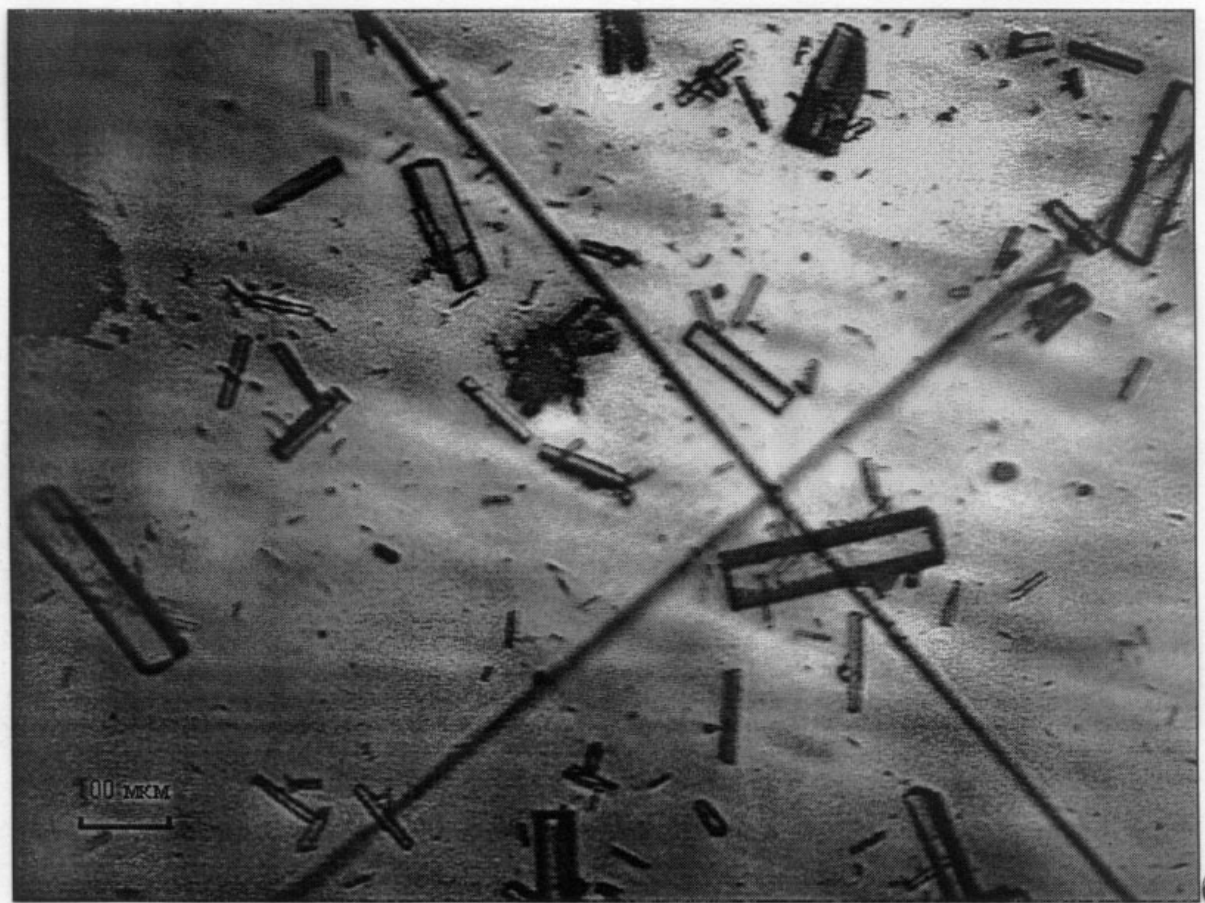


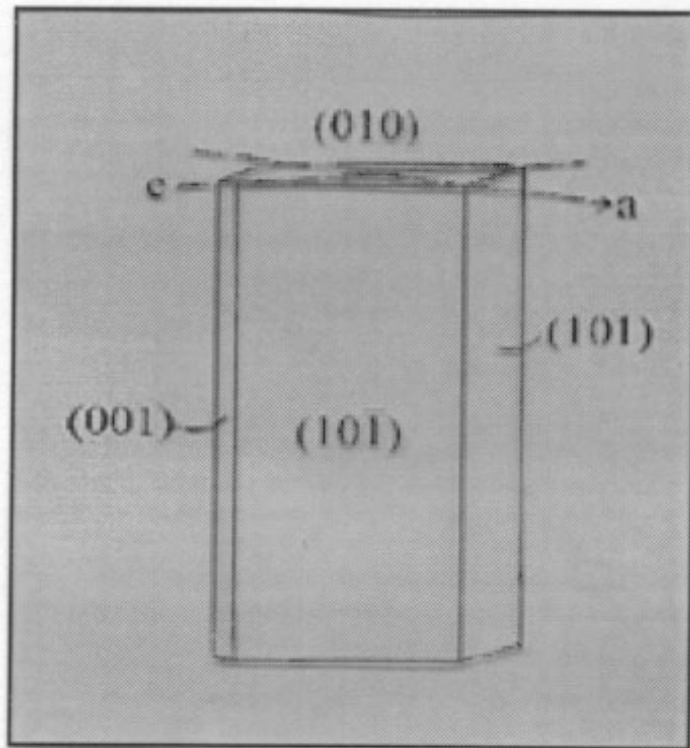
a



6

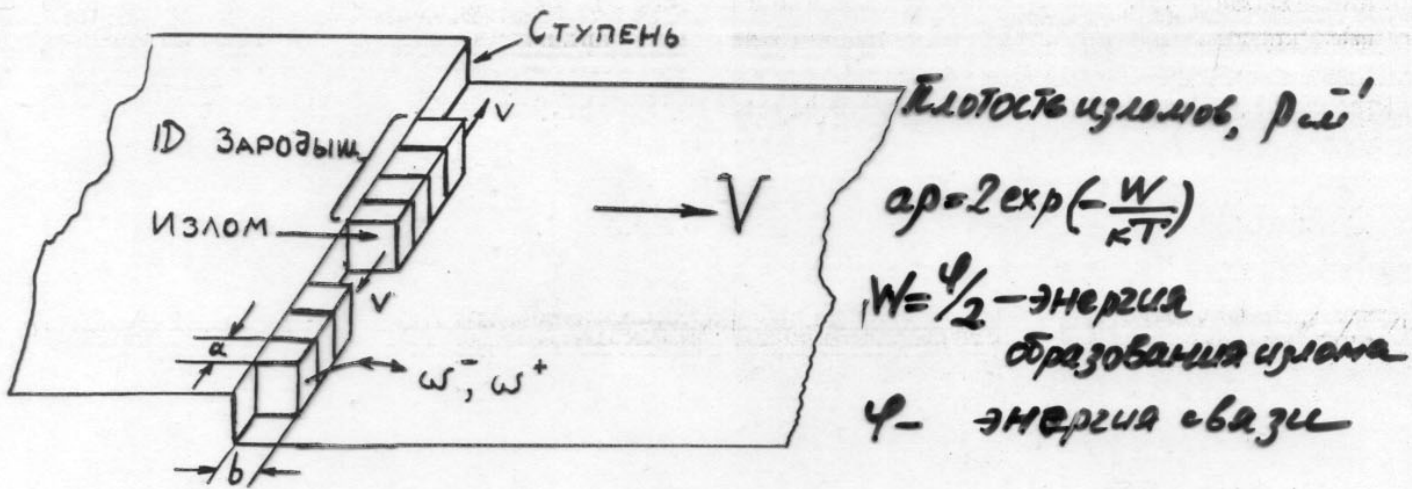
a

150 мкм



Только адсорбция в изломе означает вспрингование
в кристалле

Малая плотность изломов — основное отрицие белков



$$\text{Пересыщение } S = \frac{\omega^+ - \omega^-}{\omega^-} \quad \frac{\Delta \mu}{kT} = \ln \frac{C}{C_0} = \ln(S+1)$$

$$\text{Скорость излома } V = a(\omega^+ - \omega^-) = a\omega^- S$$

$$\text{Коэффициент диффузии } D = a^2 \omega^-$$

$$\text{Отступление излома } \delta = 2\sqrt{Dt} - vt$$

$$\text{Макс. отступление при } t_m = \frac{D}{v^2}$$

$$\delta_{\max} = \frac{D}{v} = \frac{a}{S} \quad \text{— флюктуационная длина}\newline (\text{"одномерный зародыш"})$$

Если $\delta_{\max} < \rho'$, $S > \alpha\rho$ ступень движется ползуче-
низовому образованию одномерных зародышей

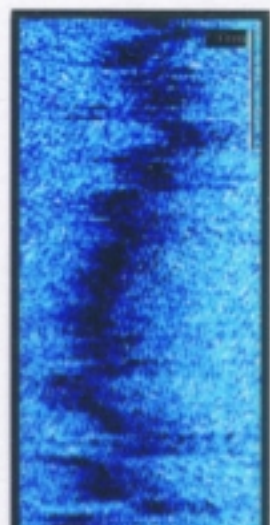
$$V = b\rho v$$

Low kink density



225x320 nm²

High kink density



20x50 nm²

Lysozyme
Smooth step

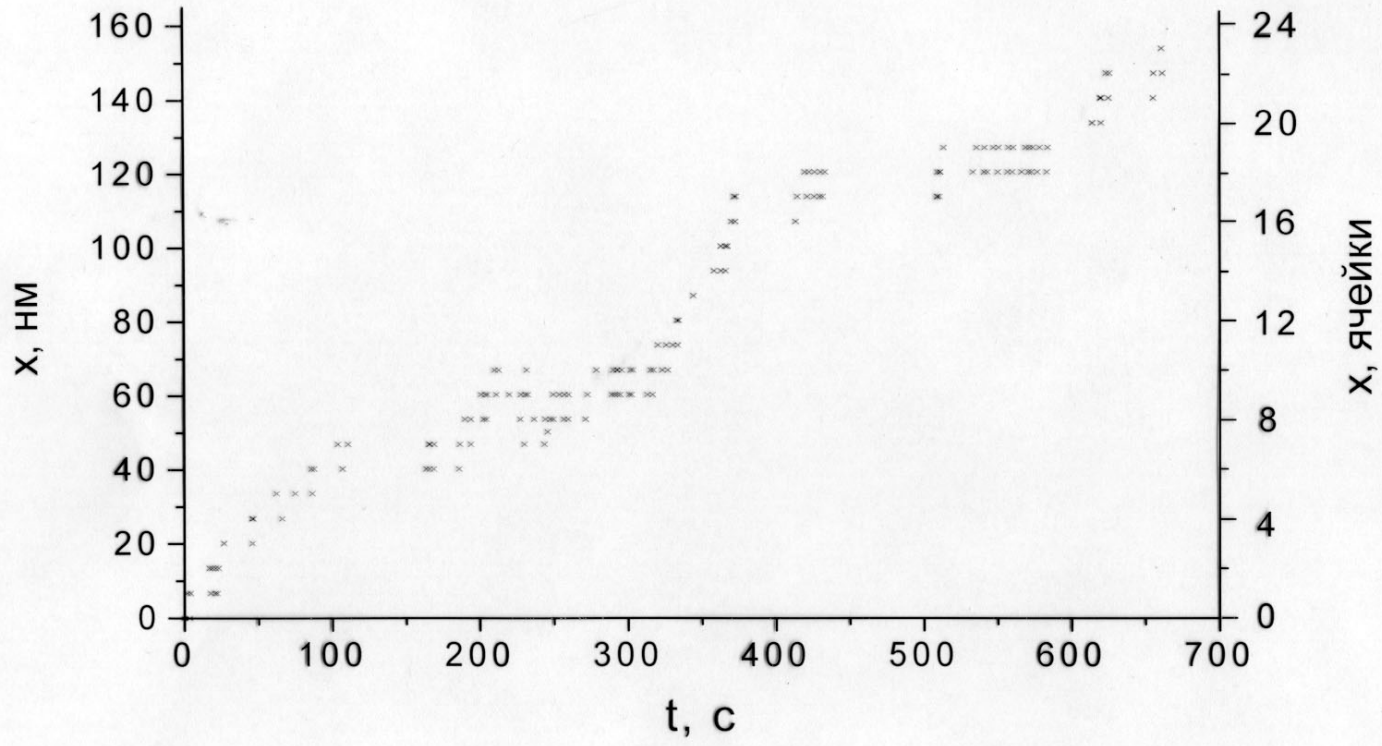
KDP
Rough step

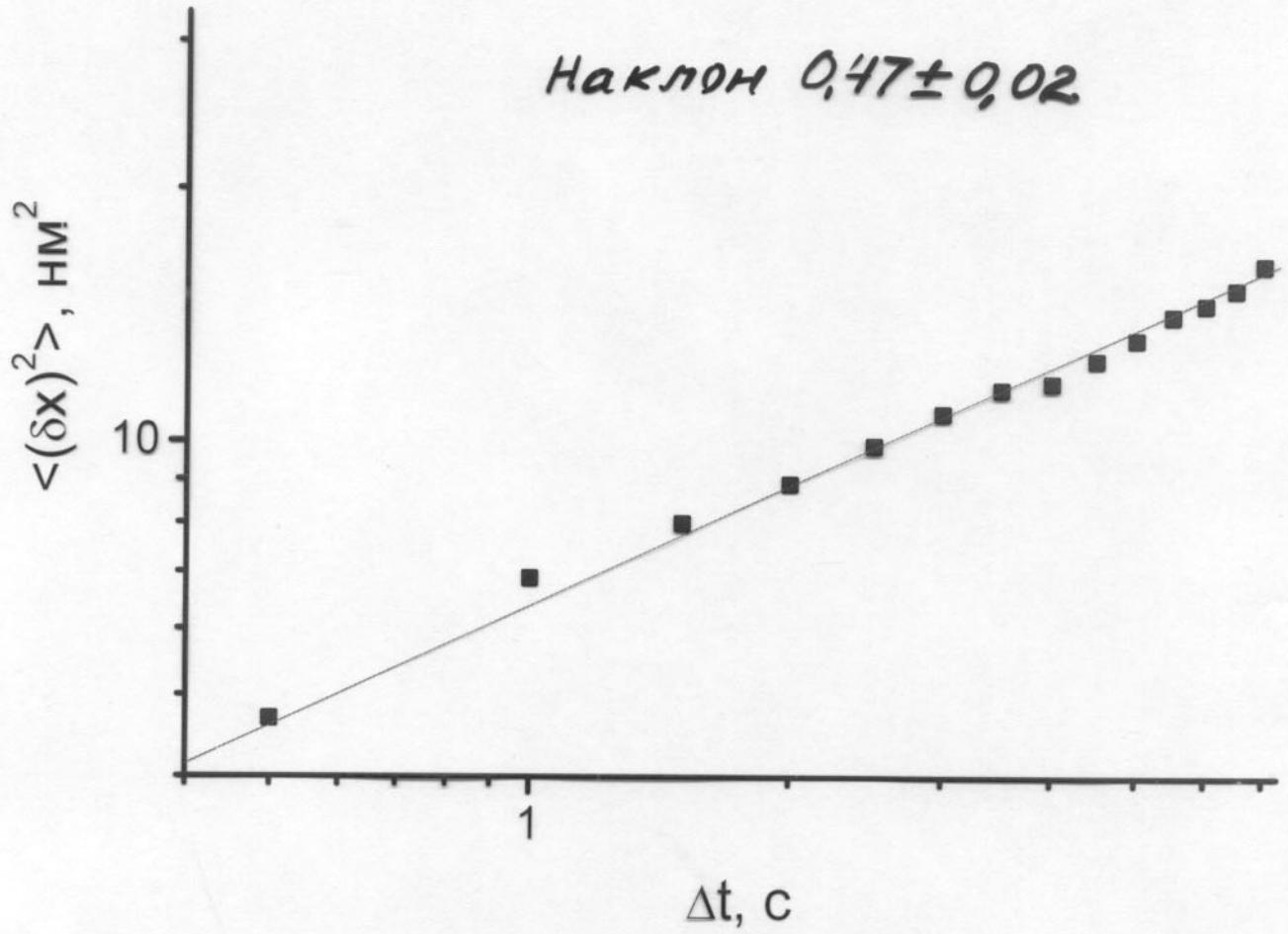
[010]



50 nm





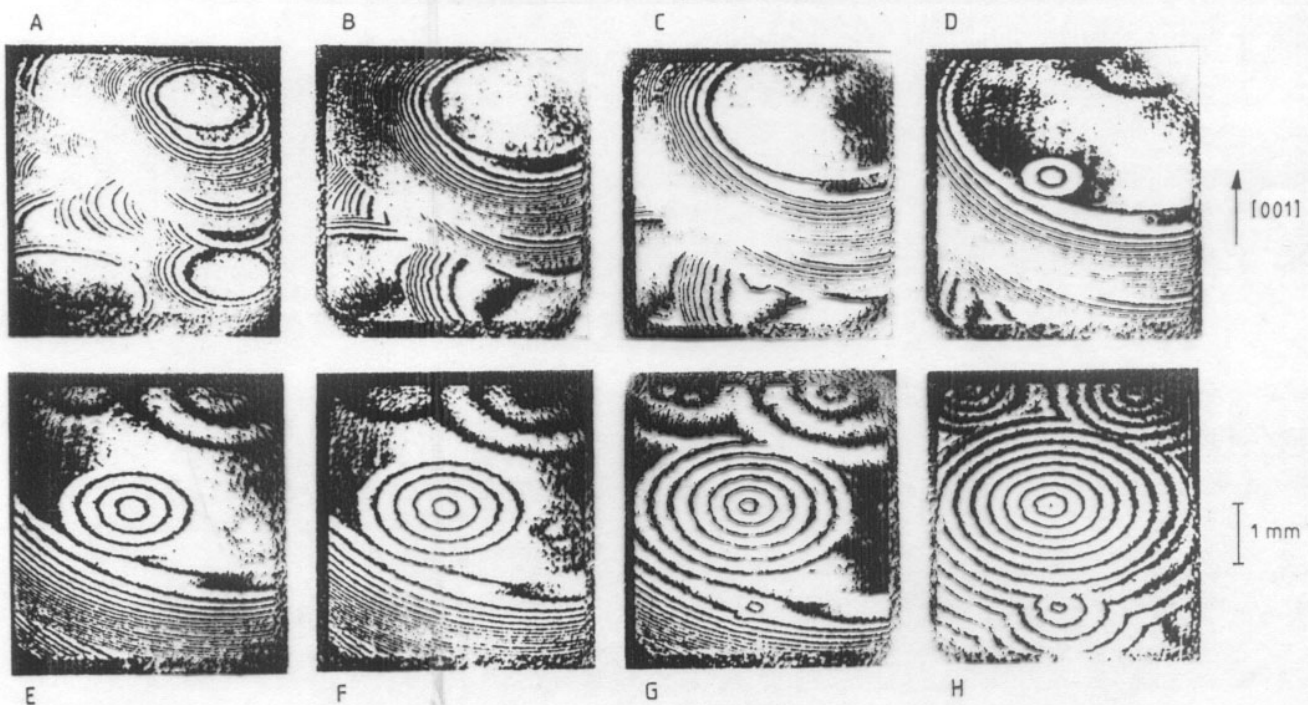
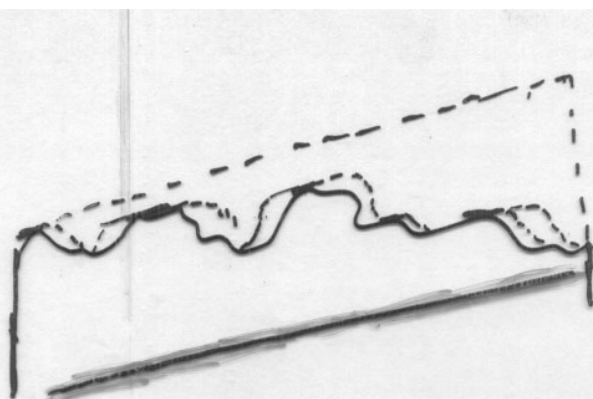


$$\langle (\delta x)^2 \rangle = \langle [x(t) - x(t + \Delta t)]^2 \rangle$$

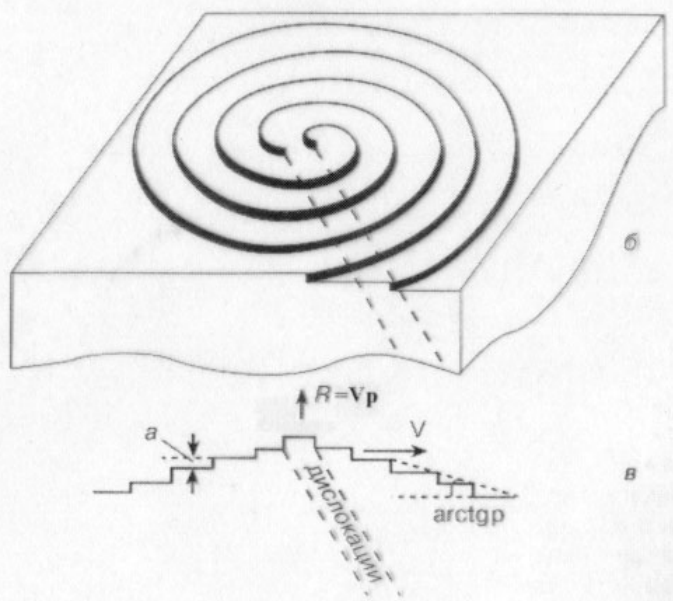
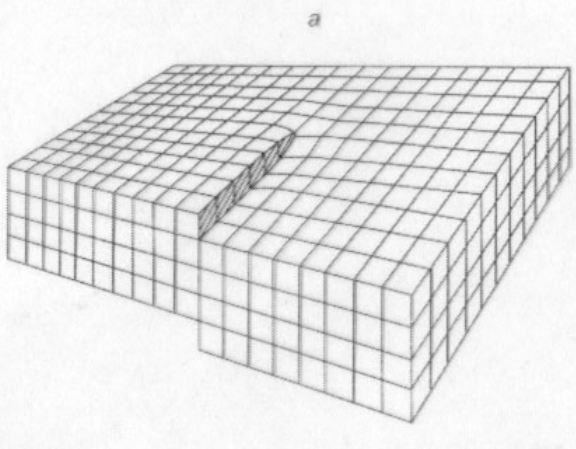
$$\delta x = (xt)^{1/4}$$

Изюмин: $\chi \approx 10^{-27} \text{ см}^2/\text{с}$

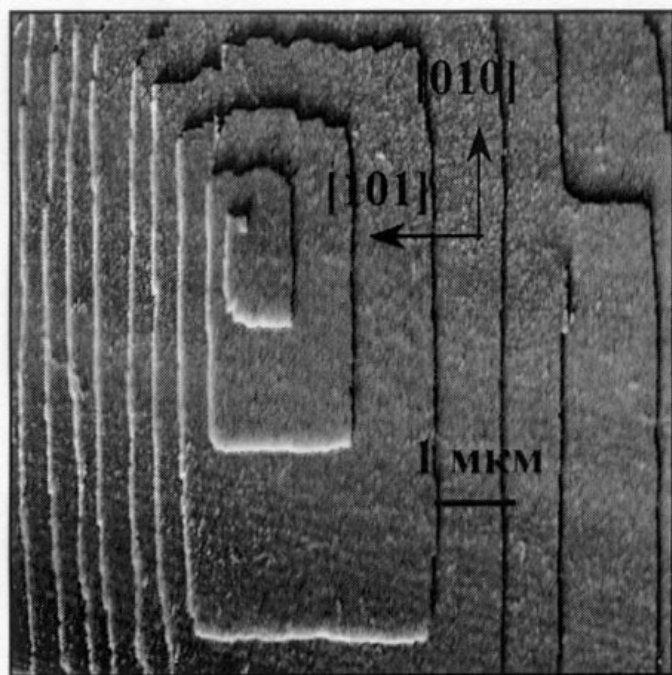
$$\bar{\omega} \sim 10 \text{ с}^{-1}$$



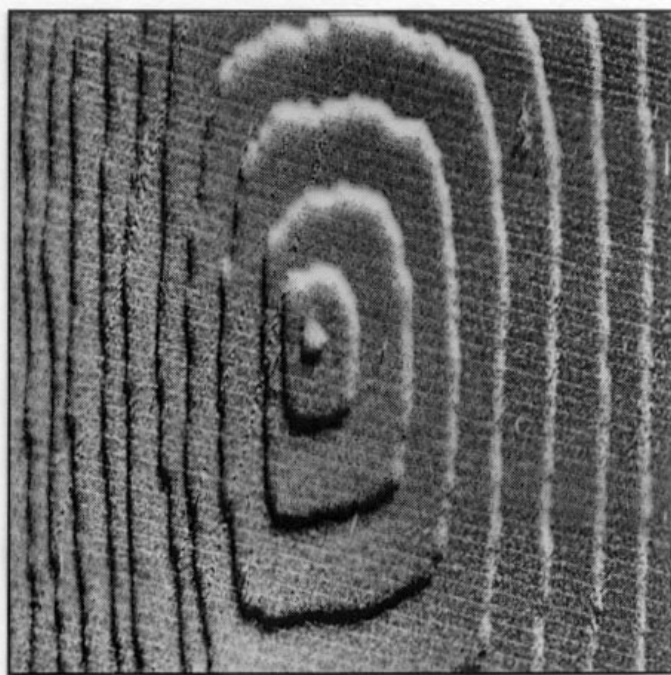
Formation of the ADP prismatic face at $t \approx 35^\circ\text{C}$. The experimental parameters are as follows (time τ in minutes, $\sigma \times 10^2$): A, (0, 0.06); B, (21, 0.43); C, (53, 0.43); D, (87, 0.58); E, (107, 0.58); F, (115, 0.58); G, (123, 0.83); H, (141, 1.08).



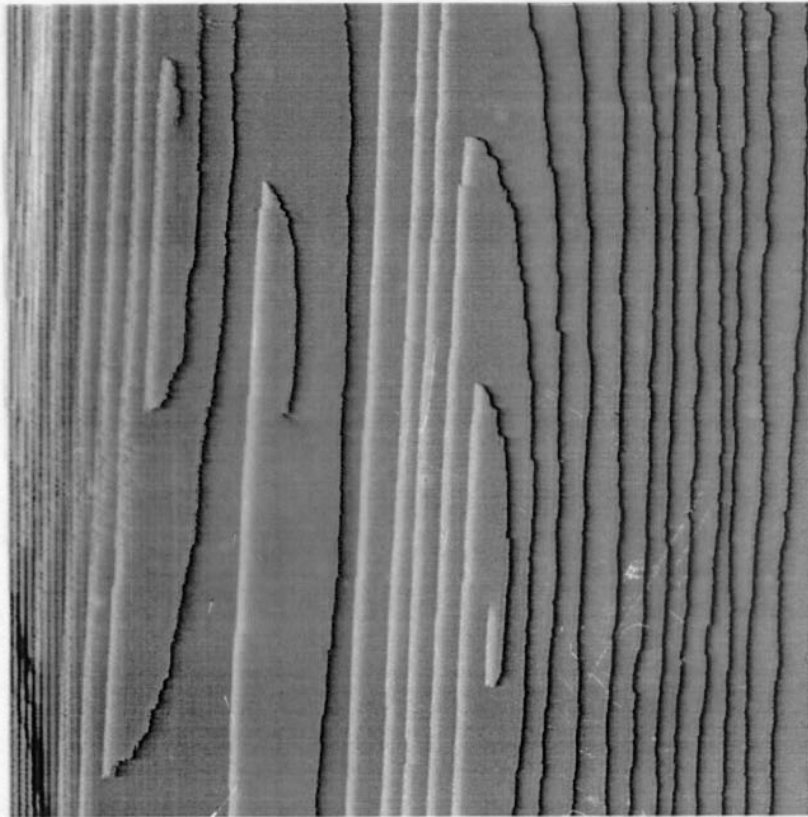
a



б

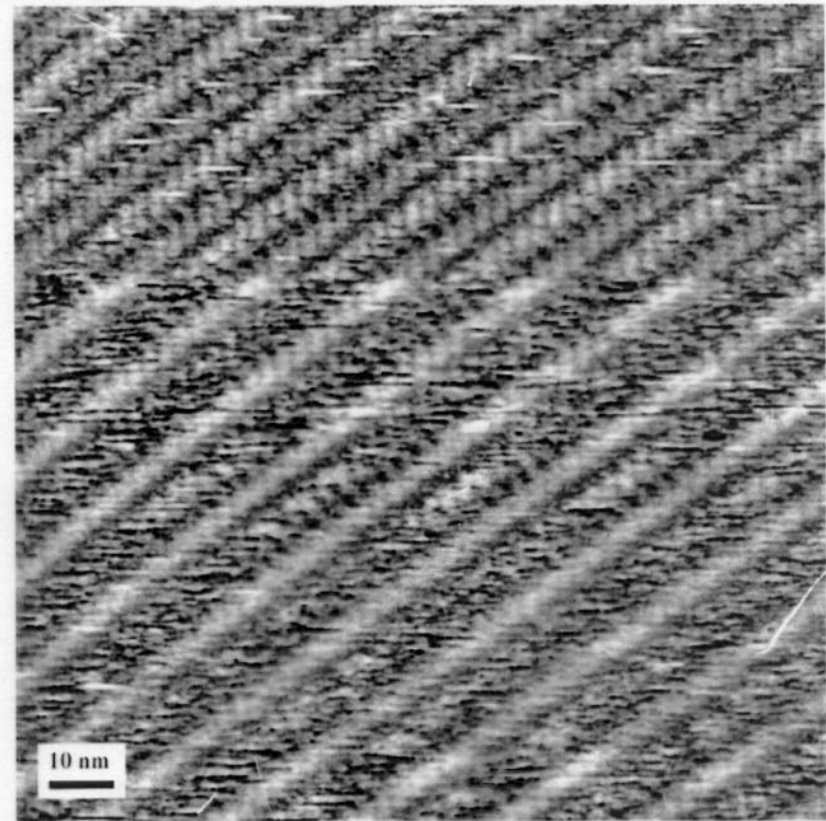


Грань (010) кристалла лизоцима



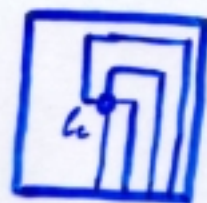
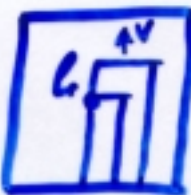
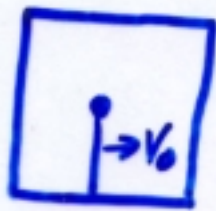
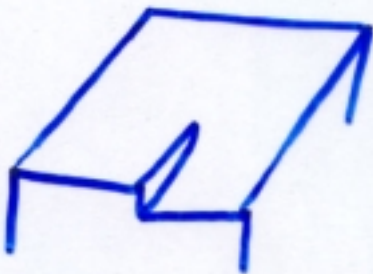
Винтовые
дислокации –
источники роста

Воздействие
иглы на
структуре
поверхности



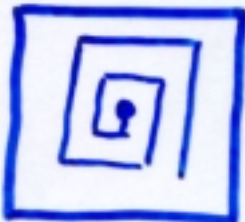
БОЛЬШАЯ СИЛА | МАЛЫЙ СИЛА

Формирование спиралей



$$I = \frac{l_c}{V_0}$$

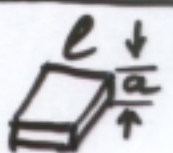
$$V = \begin{cases} 0 & \text{при } l \leq l_c \\ V_0 & \text{при } l > l_c \end{cases}$$



$$T = 4I$$

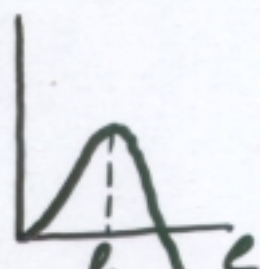
$$\lambda = V_0 T = 4l_c$$

Термодинамика



$$\Delta F = -\frac{\ell_c^2}{\Sigma} \Delta K + 4l_c d \quad \Delta F$$

$$l_c = \frac{2 \Sigma d}{\Delta \mu}$$



$$\Delta \mu = \Delta \mu_0 \left(1 - \frac{l_c}{l}\right); \quad V = V_0 \left(1 - \frac{l_c}{l}\right); \quad \lambda = 9,5 l_c$$

Кинетика

Сегмент „знает свою длину“ если

$S < 2a/l$ ($l <$ двух длин одномерного зародыша)

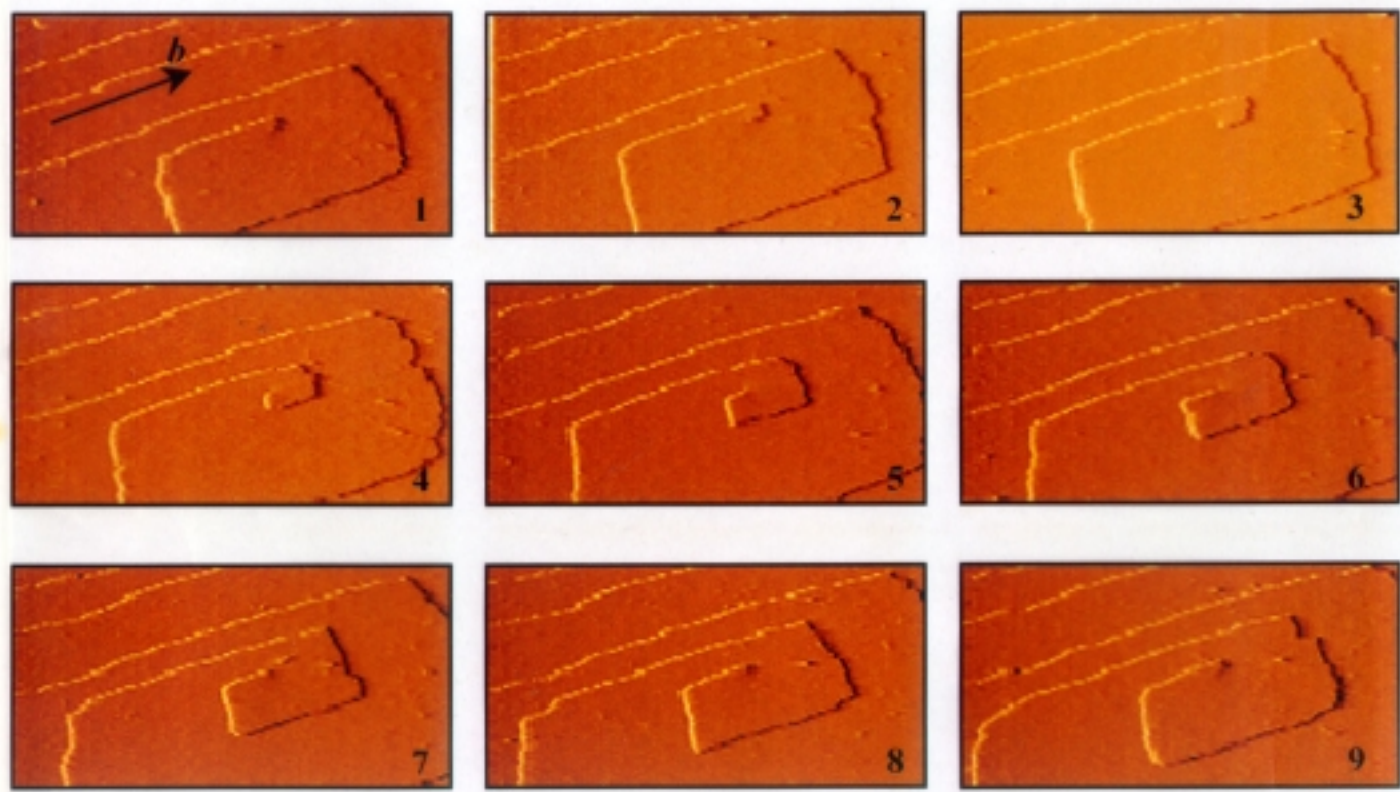
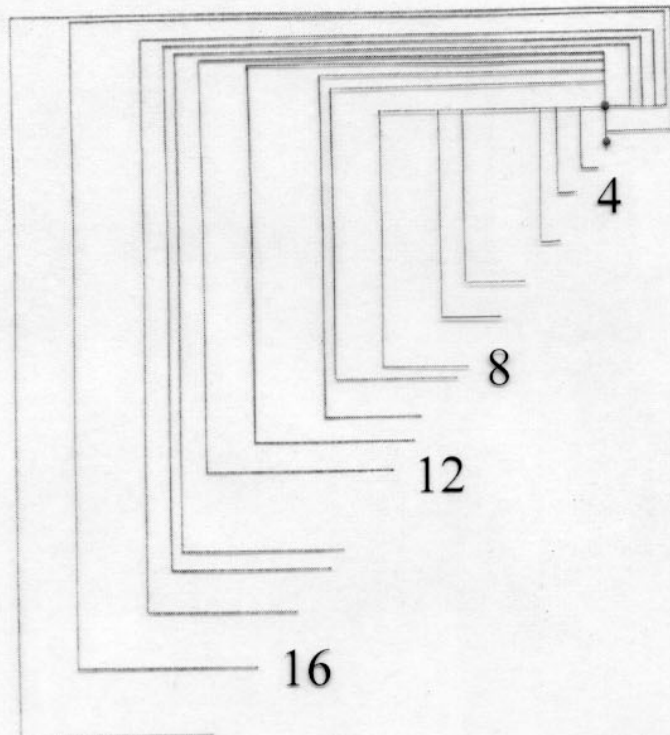
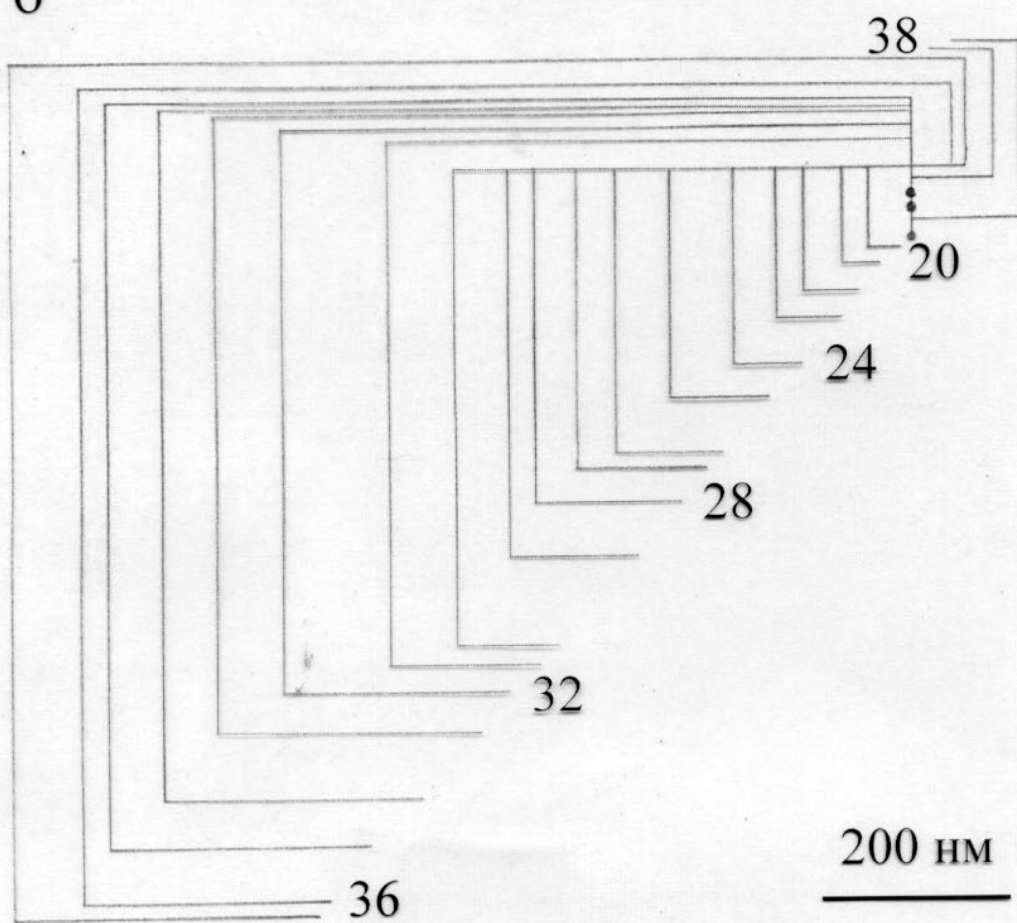


Рис. 1 Формирование дислокационной спирали на грани (101). Интервал времени между кадрами 12,6 с. Размер кадров $3,67 \times 1,83 \text{ мкм}^2$.

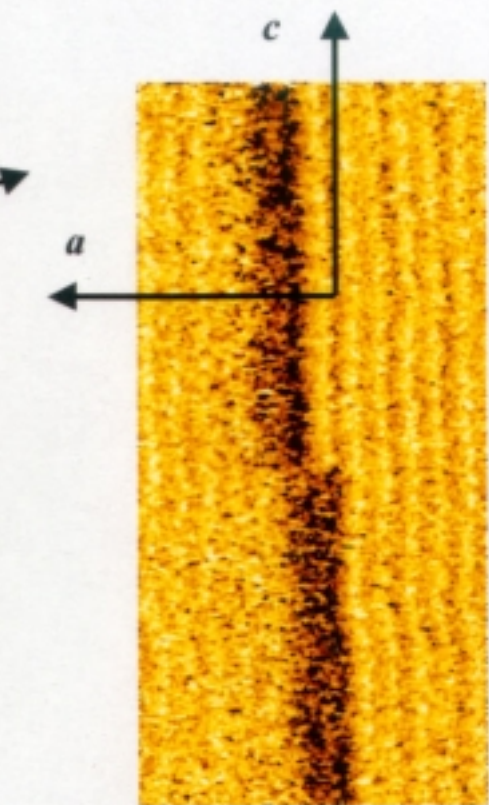
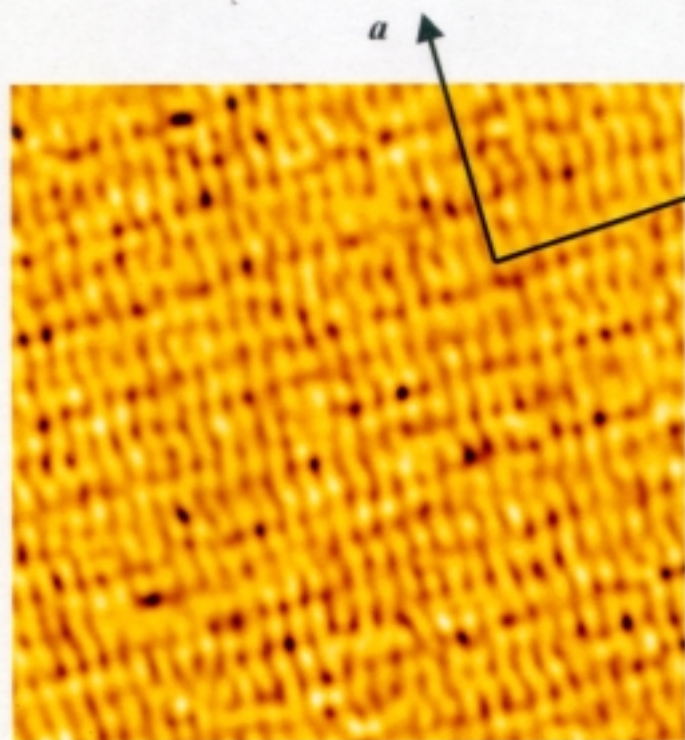
a



6



Face (010) of Lysozyme Crystal



$150 \times 150 \text{ nm}^2$

$60 \times 130 \text{ nm}^2$

